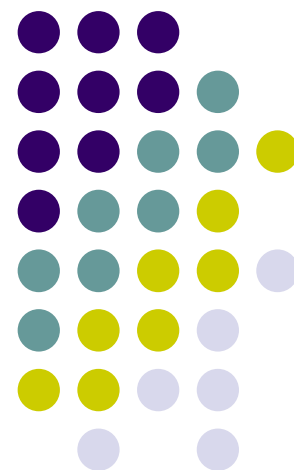


极端支持向量机ESVM 及增量学习与样本选择

何清 研究员
中国科学院计算技术研究所





目录

- 引言
- 非线性PSVM增量学习算法
- PSVM样本选择技术
- 极端支持向量：ESVM



目录

- 引言
- 非线性PSVM增量学习算法
- PSVM样本选择技术
- 极端支持向量：ESVM



预备知识-SVM

- Vladimir Naumovich Vapnik

- VC Dimension

- Vapnik Chervonenkis

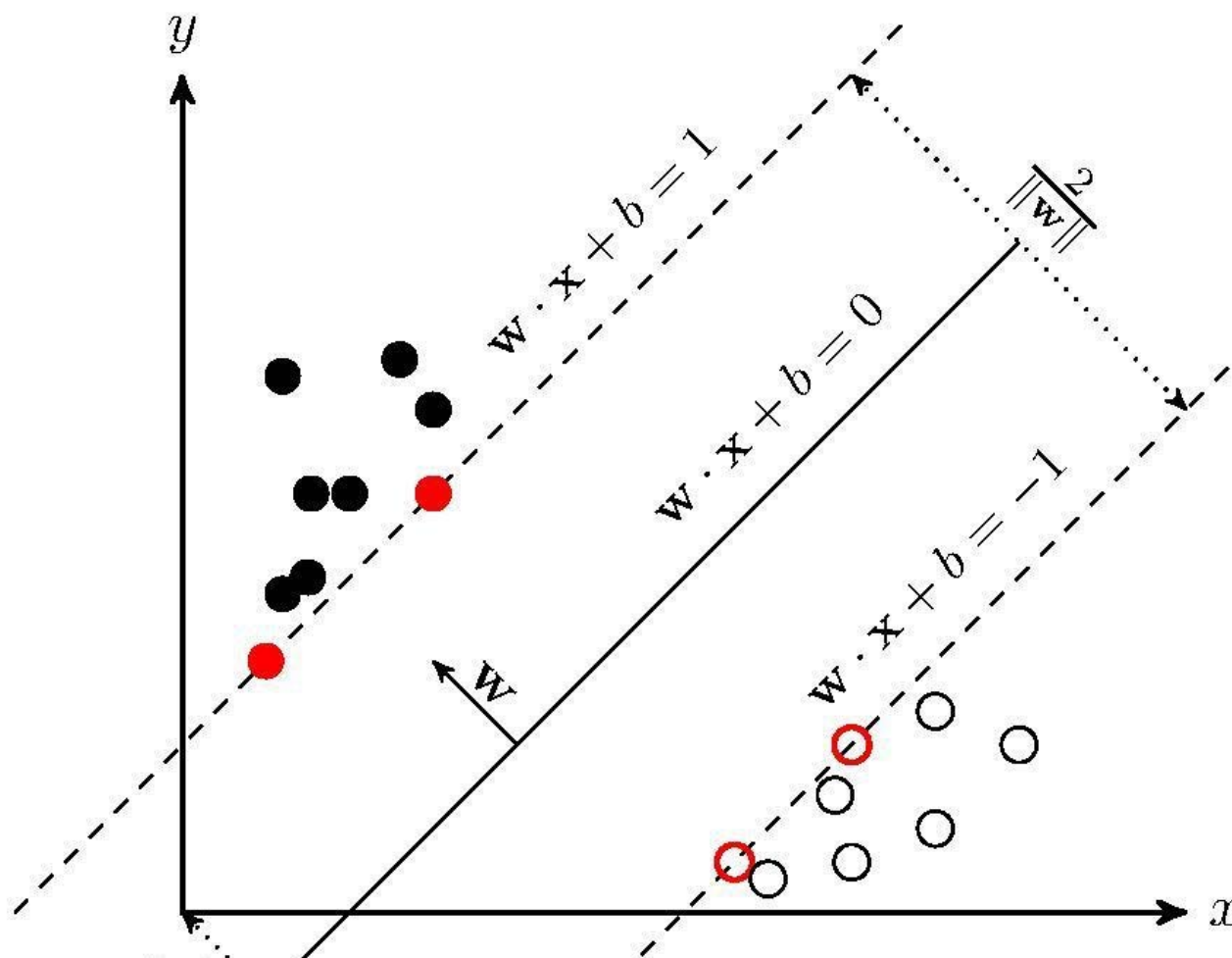
- Statistical Learning Theory

$$R(T_i) \leq R_{\text{emp}}(T_i) + \frac{\ln N - \ln \eta}{l} \left(1 + \sqrt{1 + \frac{2 R_{\text{emp}}(T_i) l}{\ln N - \ln \eta}} \right)$$

ALL YOUR
BAYES ARE
BELONG
TO VS



预备知识-SVM





预备知识-PSVM

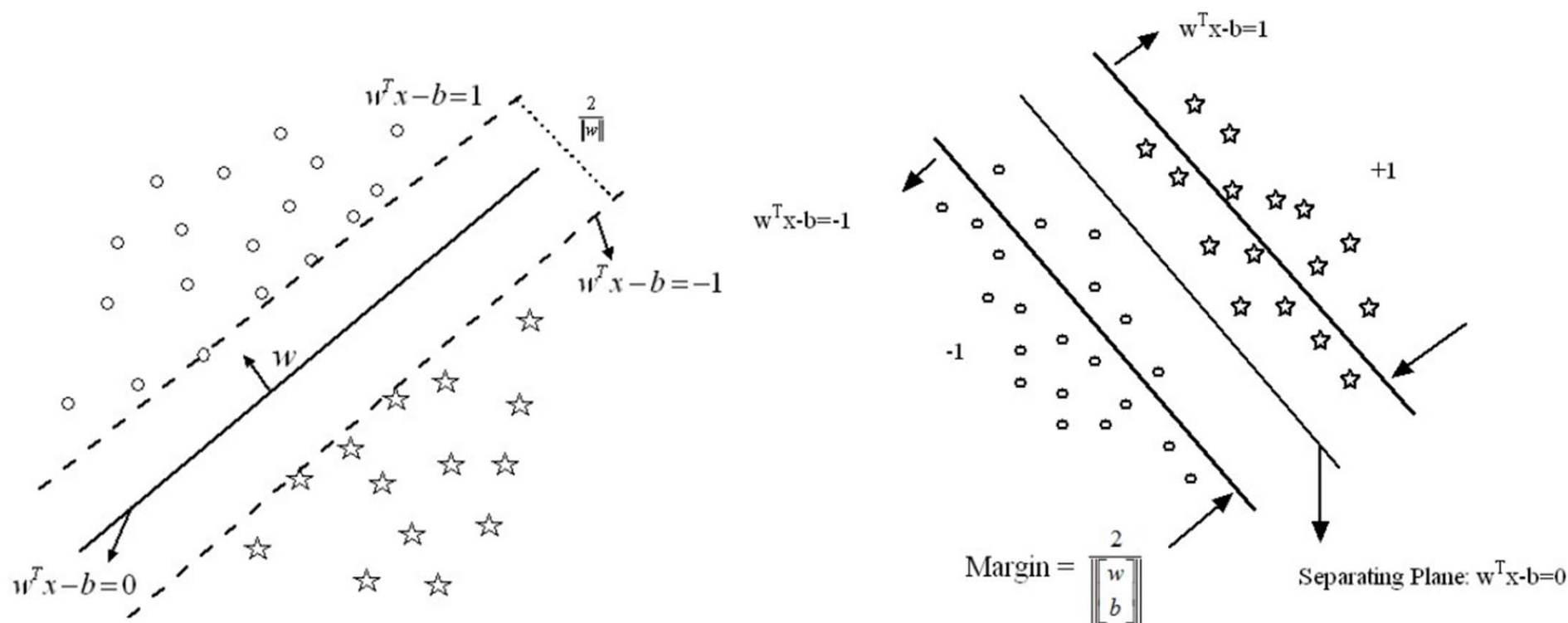
Proximal support vector machine classifiers

<https://dl.acm.org> > citation - 翻译此页

作者: G Fung - 2001 - 被引用次数: 1190 - 相关文章

2001年8月26日 - Computational results on publicly available datasets indicate that the proposed proximal SVM classifier has comparable test set correctness to ...

[Abstract](#) · [References](#) · [Cited By](#) · [Publication](#)





研究工作简介

- 设计了非线性**PSVM**的增量学习算法
- 设计了**PSVM**的样本选择技术
- 提出了一种新的**SVM**分类模型



目录

- 引言
- 非线性PSVM增量学习算法
- PSVM样本选择技术
- 极端支持向量：ESVM

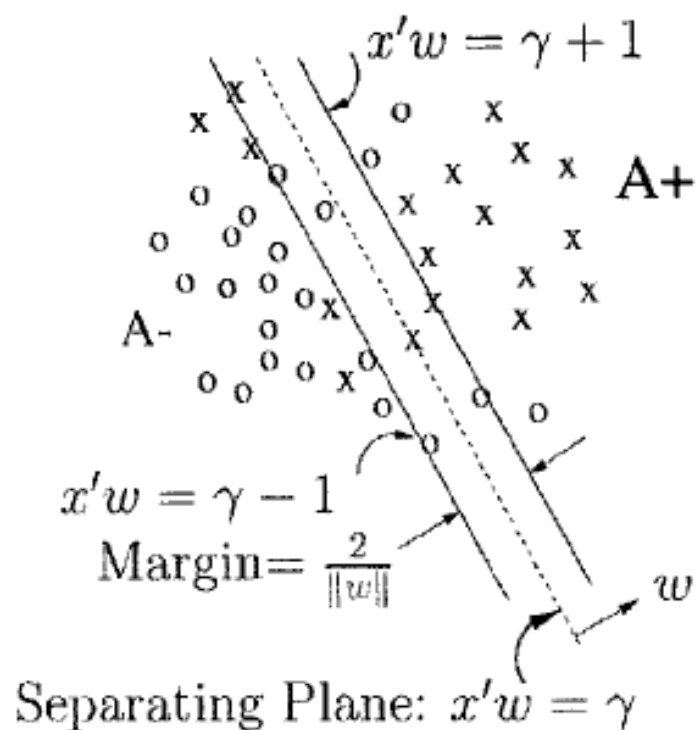


非线性**PSVM**增量学习算法

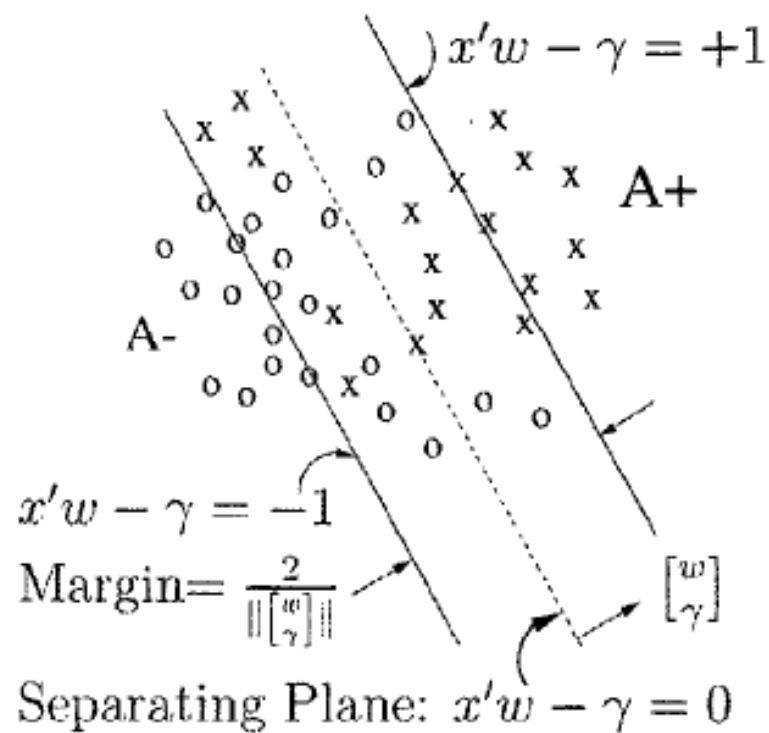
- 易于增量学习的Nonlinear PSVM分类器;
- 利用分块矩阵求逆公式, 设计了**PSVM**增量学习算法;
- 理论及实验证明: 在线学习过程中采用该算法不仅可以得到与批量学习相同的分类器、正确率; 而且解决了重复学习的问题, 可以显著地缩短训练时间。



非线性PSVM增量学习算法



SVM



Proximal SVM



非线性PSVM增量学习算法

为了叙述的方便，首先把这里将用到的数学表示符号声明如下：所有的向量默认均为列向量，上标 $'$ 表示转置，向量 x 和 y 在空间中的点积表示为： x'^y ，向量 x 的2-norm表示为 $\|x\| = \sqrt{x'^x}$ ；这里我们利用矩阵 $A[m \times n]$ 表示 n 维空间 R^n 中的 m 个训练样本；对角线元素为 ± 1 的对角矩阵 $D[m \times n]$ 的对角线上的元素声明了 m 个训练样本的类别是 $+1$ 或 -1 ；对于矩阵 $A \in R^{m \times n}$ 和 $B \in R^{n \times l}$ ，核函数 $k(A, B)$ 将 $R^{m \times n}, R^{n \times l}$ 映射到 $R^{m \times l}$ ；默认情况下我们将使用下面的Gaussian核： \leftarrow

$$(K(A, B))_{i,j} = e^{-\frac{1}{2\mu} \|A_i - B_j\|^2}, i=1 \dots m, j=1 \dots l$$

其中 μ 是正常量， e 表示自然对数的底； e 为元素为1的任意维向量（维度根据上下文确定）； w, r 分别为分类超平面的方向系数和偏置， y 为松弛向量，参数 $\nu \geq 0$ 用于控制模型复杂度和准确率之间的平衡； I 表示单位向量。 \leftarrow



非线性PSVM增量学习算法

$$\begin{aligned} \min_{(w, \gamma, y) \in R^{n+1+m}} \quad & \nu \frac{1}{2} \|y\|^2 + \frac{1}{2} (w'w + \gamma^2) \\ \text{s.t.} \quad & D(Aw - e\gamma) + y = e \end{aligned}$$



Nonlinear PSVM

$$\begin{aligned} \min_{(u, r, y) \in R^{m+1+m}} \quad & \nu \frac{1}{2} \|y\|^2 + \frac{1}{2} (u'u + r^2), \\ \text{s.t.} \quad & D(K(A, A')Du - er) + y = e. \end{aligned}$$



$$\begin{aligned} \min_{(w, r, y) \in R^{m+1+m}} \quad & \nu \frac{1}{2} \|y\|^2 + \frac{1}{2} (w'w + r^2), \\ \text{s.t.} \quad & D(\phi(A)w - er) + y = e. \end{aligned}$$

新NPSVM模型

NPSVM的解

$$Ds = \left(\frac{I}{\nu} + KK' + ee' \right)^{-1} De$$

新NPSVM模型的解

$$\begin{aligned} Du &= (I/\nu + \phi(A)\phi(A)' + ee')^{-1} De \\ &= (I/\nu + K + ee')^{-1} De \end{aligned}$$



非线性PSVM增量学习算法

$$\begin{aligned} Du &= (I/v + \phi(A)\phi(A)' + ee')^{-1} De \\ &= (I/v + K + ee')^{-1} De \end{aligned}$$

新NPSVM模型的解

$$A_{11}^{-1} = (I/v + K(A_1, A_1') + ee')^{-1}$$

历史训练结果

$$A_{\#} = \begin{bmatrix} A_{11} & A_{12} \\ A_{21} & A_{22} \end{bmatrix},$$

新数据

where $A_{12} = (K(A_1, A_2') + ee')$, $A_{22} = (I/V + K(A_2, A_2') + ee')$ and $A_{21} = A_{12}'$.

$$A_{\#}^{-1} = \begin{bmatrix} A_{11} & A_{12} \\ A_{21} & A_{22} \end{bmatrix}^{-1} = \begin{bmatrix} A_{11}^{-1} + X & Y \\ Y' & T \end{bmatrix},$$

历史训练结果的更新

$$T = (A_{22} - A_{21}A_{11}^{-1}A_{12})^{-1}, Y = -A_{11}^{-1}A_{12}T, X = -YA_{12}'A_{11}^{-1}.$$



非线性PSVM增量学习算法

	Data Set $m \times n$	Ionosphere 351×34	Bupa Liver 345×6	Tic-Tac-Toe 958×9
NPSVM	Recall	99.43%	80.23%	100%
	Test	93.17%	66.87%	99.06%
	Time(Sec.)	0.16	0.16	2.32
NNPSVM	Recall	99.94%	84.73%	100%
	Test	94.80%	67.27%	99.06%
	Time(Sec.)	0.14	0.13	1.56

	Data Set $m \times n$	Ionosphere 351×34	Bupa Liver 345×6	Tic-Tac-Toe 958×9
INPSVM	Recall	99.72%	83.48%	100.00%
	Time(Sec.)	0.21	0.21	3.75
NNPSVM	Recall	99.72%	83.48%	100.00%
	Time(Sec.)	0.33	0.33	5.03



非线性**PSVM**增量学习算法

- Qiuge Liu, Qing He, and Zhongzhi Shi. Incremental Nonlinear Proximal Support Vector Machine, in D. Liu et al. (Eds.): ISNN 2007, LNCS 4493, Part III, pp. 336–341, 2007(EI已收录).



目录

- 引言
- 非线性PSVM增量学习算法
- PSVM样本选择技术
- 极端支持向量：ESVM



PSVM样本选择技术

矩阵大小！？

$$A_w^{-1} = \begin{bmatrix} A_{11} & A_{12} \\ A_{21} & A_{22} \end{bmatrix}^{-1} = \begin{bmatrix} A_{11}^{-1} + X & Y \\ Y' & T \end{bmatrix},$$



样本选择



PSVM样本选择技术

- 我们设计了根据训练结果对样本进行选择的技术
 - 历史数据
 - 新数据
 - 非线性分类器
- 与增量学习算法结合，大数据集的增量学习框架

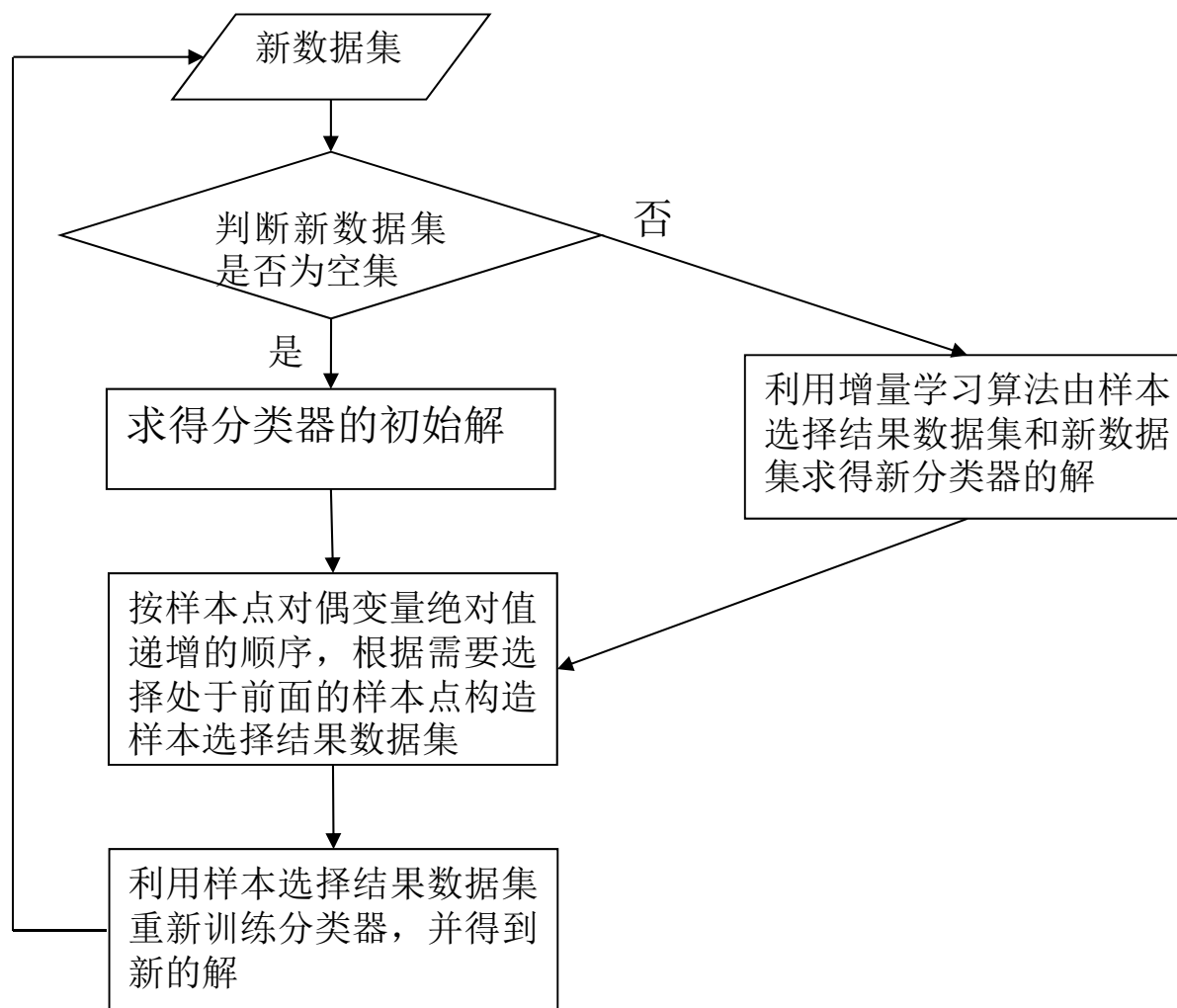


PSVM样本选择技术

- SVM: 保留对偶变量值为非零的点——支持向量
- 实验结果表明: 距离拟合超平面较近的样本点具有较强的描述能力, 利用这些样本点重新训练可得到与原分类器相似的结果
- PSVM: ϵ 支持向量 概念——对偶变量绝对值小于 ϵ 的样本点



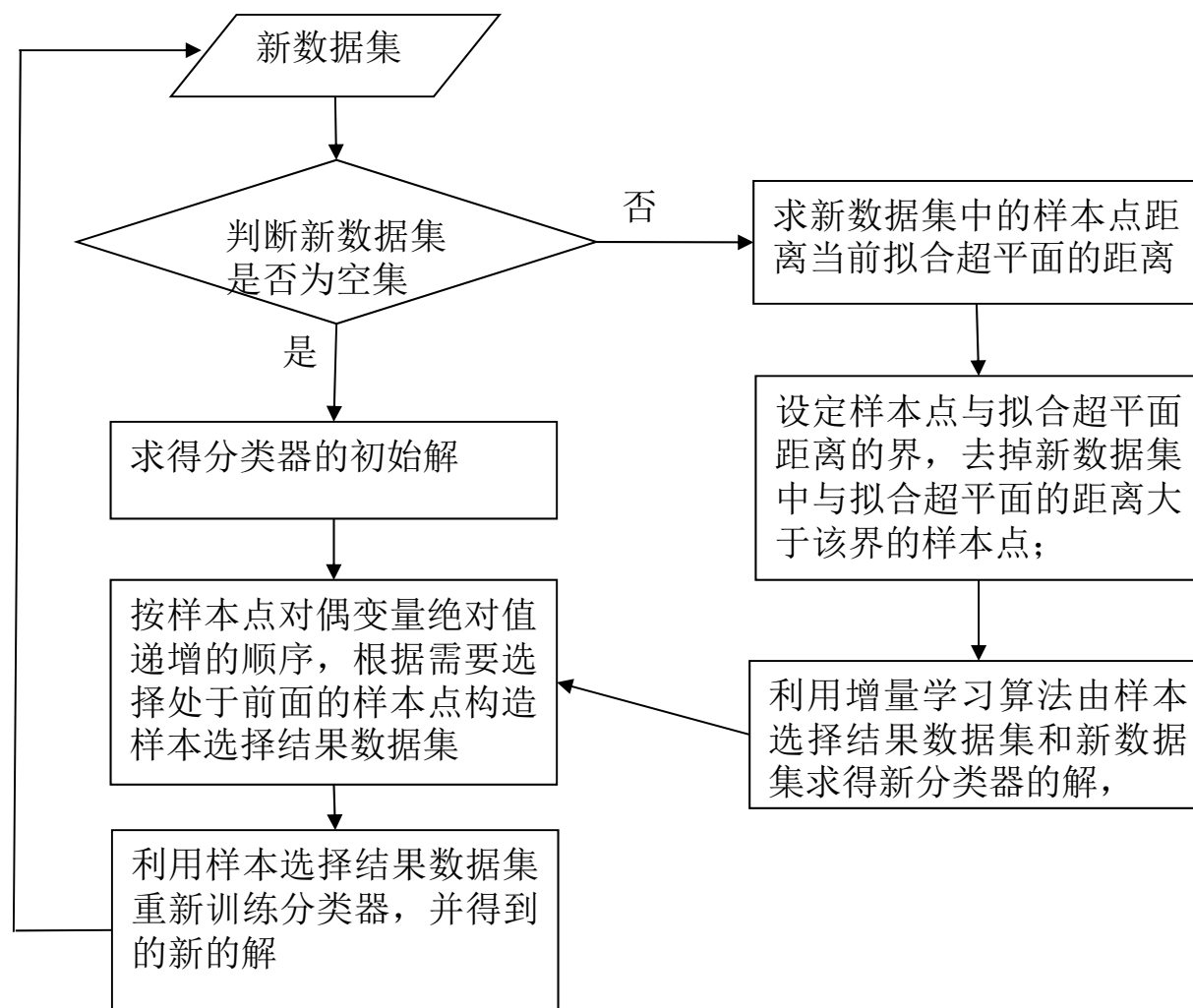
PSVM样本选择技术



对历史数据的选择



PSVM样本选择技术



添加了对新样本选择的过程



PSVM样本选择技术

- 非线性分类器情形：由于非线性分类器难以描述，我们把被误分的样本点也选择出来



PSVM样本选择技术

假设我们已经对数据集 $A_c \in R^{n_c \times m}$ 及其类别信息 $D_c \in R^{n_c \times m_c}$ 进行训练得到了分类器：

$f_c(x) = \text{sgn}(K(x', A_c') (Du)_c - r_c)$ ，现在到来了一批新的数据 $A_n \in R^{n_n \times m}$ 及其类别信息 $D_n \in R^{n_n \times m_n}$

需要加入到分类器中。我们用 $A_s \in R^{n_s \times m}$ 表示从历史数据中选择出的样本， $A_w \in R^{n_w \times m}$ 表示

从新数据中选择出的样本， $A_m \in R^{n_m \times m}$ 表示错分的样本。初始时我们有如下初

值： $A_c = \emptyset, A_s = \emptyset, A_m = \emptyset, (Du)_c = 0, r_c = 0$ 。最后，令 num 表示每一步需要选择出的样本的个数。



PSVM样本选择技术

- 1) 等待，直到有新的数据集 A_n 需要学习；
- 2) 如果 $A_c \neq \emptyset$ ，令 $A_n = A_n \cup A_c$ 并跳转到第 7 步，否则令 $A_c = A_n$ ；
- 3) 利用公式 (3.16)、(3.17) 求得 $(Du)_c, r_c$ 的解；
- 4) 按照样本点 Lagrange 对偶变量 $(Du)_c$ 的绝对值递增的顺序选择前 num 个样本构造数据集 A_r ，并令 $A_c = A_r$ ；
- 5) 利用数据集 A_c 重新训练分类器，并得到 $(Du)_c, r_c$ 的新的解；
- 6) 利用分类器 $f_c(x)$ 对全部样本进行测试，获得错分的样本 A_m ，转移到步骤 1；
- 7) 通过下述公式获得新数据集 A_n 距离当前拟合超平面的距离向量 d ：



PSVM样本选择技术

$$d = |f(A_u)| = \left| \text{sgn} \left(K(A_u', A_c') (Du)_c - r_c \right) \right| \quad (4.1)$$

- 8) 设定一个界 d_{bound} 作为样本点与拟合超平面距离的界, 一个可能的选择是 $(Du)_c$ 中元素绝对值的最大值;
- 9) 将数据集 A_u 压缩至 A_{ur} , 仅保留对应距离向量 d 中元素 d_i 满足 $d_i > d_{bound}$ 条件的点;
- 10) 将 A_{ur} 作为增量学习中新增数据集, 利用增量学习算法得到 $(Du)_c, r_c$ 的新的解, 即令公式 (3.20)、(3.21)、(3.22) 中 $A_1 = A_c, A_2 = A_{ur}, A_3 = A_1$; 跳转到第4步 (此时 A_{ur} 已经包含进 A_c)。



PSVM样本选择技术

Data Set $m \times n$		Iris 150×4	Ionospher e 351×34	Tic- Tac-Toe 958×9
PSVM	Train	73.93%	90.76%	98.33%
	Test	71.33%	86.08%	98.33%
PSVM-I(0.1)	Train	76.52%	84.74	98.33%
	Test	74.67%	82.05	98.32%
PSVM-I(0.2)	Train	75.70%	89.43%	98.33%
	Test	73.33%	86.06%	98.33%
PSVM-I(0.3)	Train	73.93%	89.30%	98.33%
	Test	71.33%	86.63%	98.32%

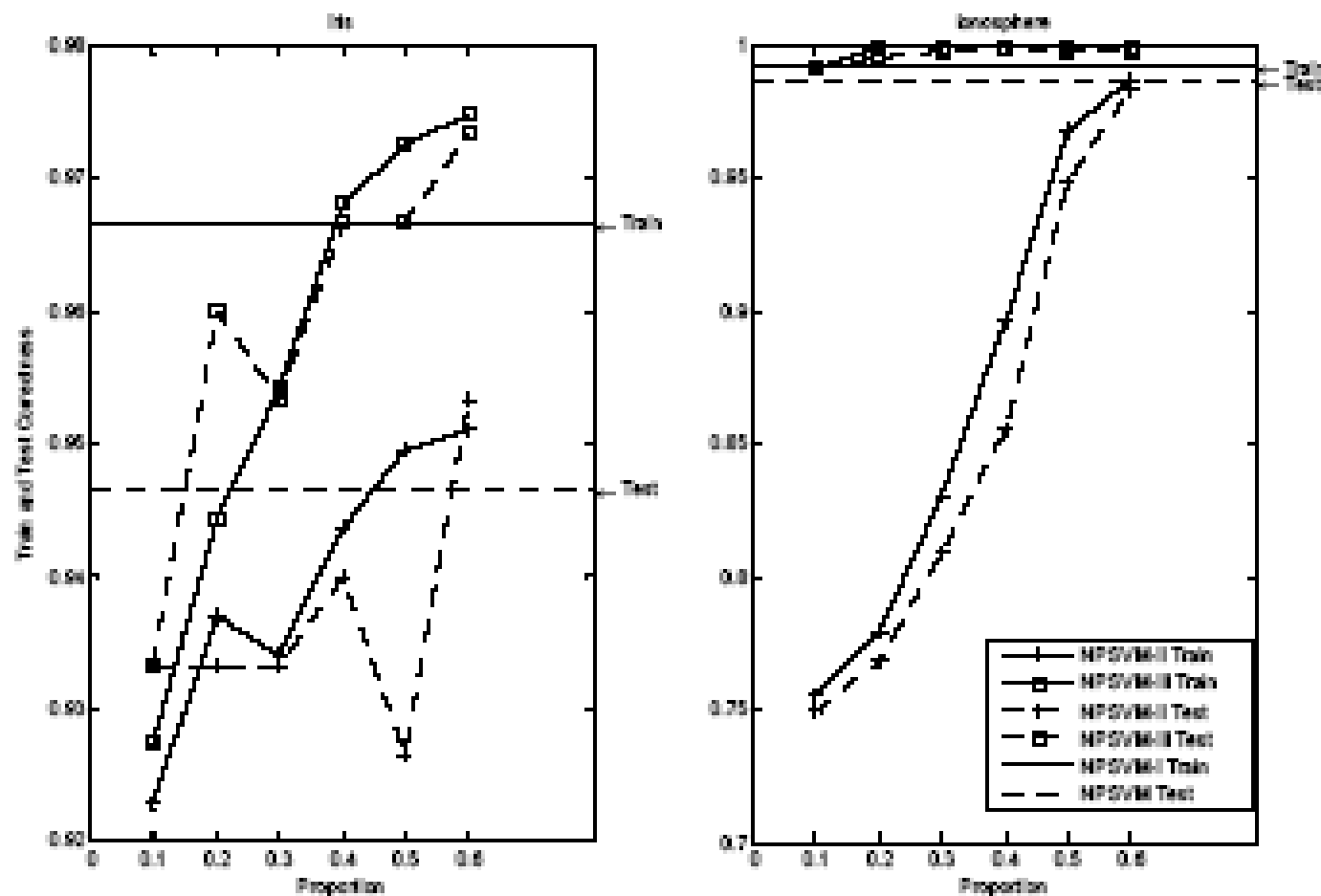


PSVM样本选择技术

Data Set $m \times n$	Iris 150×4	Ionosphere 351×34	Tic-Tac-Toe 958×9	BUPA Liver 345×6
RSWM	95.33 %	92.31%	98.50%	74.86%
NPSVM-III (10%)	95.33 %	93.44%	98.23%	68.69%
NPSVM-III (20%)	97.33 %	95.15%	98.54%	75.65%
NPSVM-III (30%)	98.00 %	95.73%	98.64%	77.39%



PSVM样本选择技术





PSVM样本选择技术

- 实验显示上述样本选择技术仅需付出较小时间代价，就可以有效地处理大样本集的在线学习问题，而且可以得到与利用全部样本进行训练的结果相近的正确率。



PSVM样本选择技术

- Qiu-ge Liu, Qing He, Zhong-zhi Shi. Data Selection for Nonlinear Proximal Support Vector Machine, Third International Conference on Natural Computation, Vol.1,pp.120-124. (EI已收录)



目录

- 引言
- 非线性PSVM增量学习算法
- PSVM样本选择技术
- 极端支持向量: ESVM



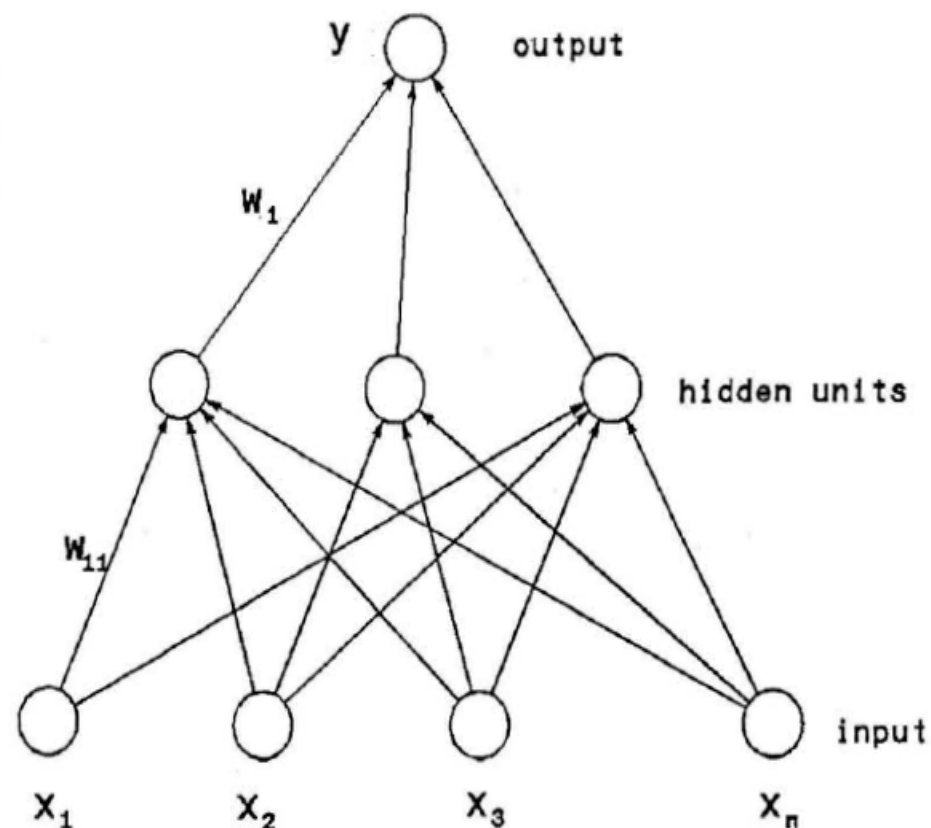
极端支持向量：**ESVM**

- 我们提出了一种新的非线性SVM学习方法：
Extreme Support Vector Machine (ESVM)
- 它基于随机构造的映射函数和正则化网络得到非线性模型
- 优点：
 - 与SVM比：运算速度快，扩展能力强，相当的正确率
 - 与SFLNSs比：更好的泛化性能



极端支持向量: ESVM

- 单隐层神经网络训练算法 **Extreme Learning Machine: ELM**
 - 随机确定输入参数
 - 解析求解输出参数
- 速度快, 避免局部极小值





极端支持向量: **ESVM**

- **ELM**两个步骤
 1. 输入数据被映射到隐层输出向量
 2. 由隐层输出向量解析求解隐层输出权重
- 同**Nonlinear SVM**中的核思想类似
- 神经网络的学习能力

极端支持向量: ESVM



$$\begin{aligned} \min_{(w, \gamma, y) \in R^{n+1+m}} \quad & \nu \frac{1}{2} \|y\|^2 + \frac{1}{2} (w'w + \gamma^2) \\ \text{s.t.} \quad & D(Aw - e\gamma) + y = c \end{aligned}$$



$$\begin{aligned} \min_{(w, r, y) \in R^{n+1+m}} \quad & \nu \frac{1}{2} \|y\|^2 + \frac{1}{2} (w'w + r^2), \\ \text{s.t.} \quad & D(\phi(A)w - er) + y = e. \end{aligned}$$

$$\Phi(x): R^n \rightarrow R^{\tilde{n}}$$

显示的利用一个非线性转换函数

$$\begin{bmatrix} w \\ \gamma \end{bmatrix} = \left(\frac{I}{\nu} + E'E \right)^{-1} E' D e,$$



$$\begin{bmatrix} w \\ r \end{bmatrix} = \left(\frac{I}{\nu} + E_{\Phi}' E_{\Phi} \right)^{-1} E_{\Phi}' D e$$

极端支持向量: ESVM



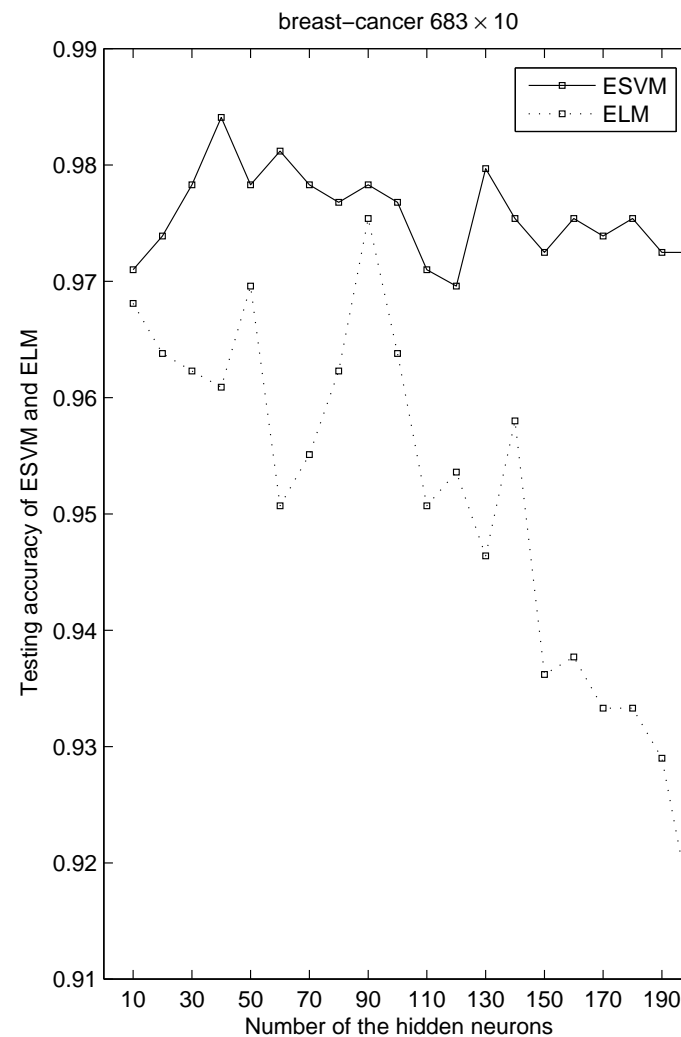
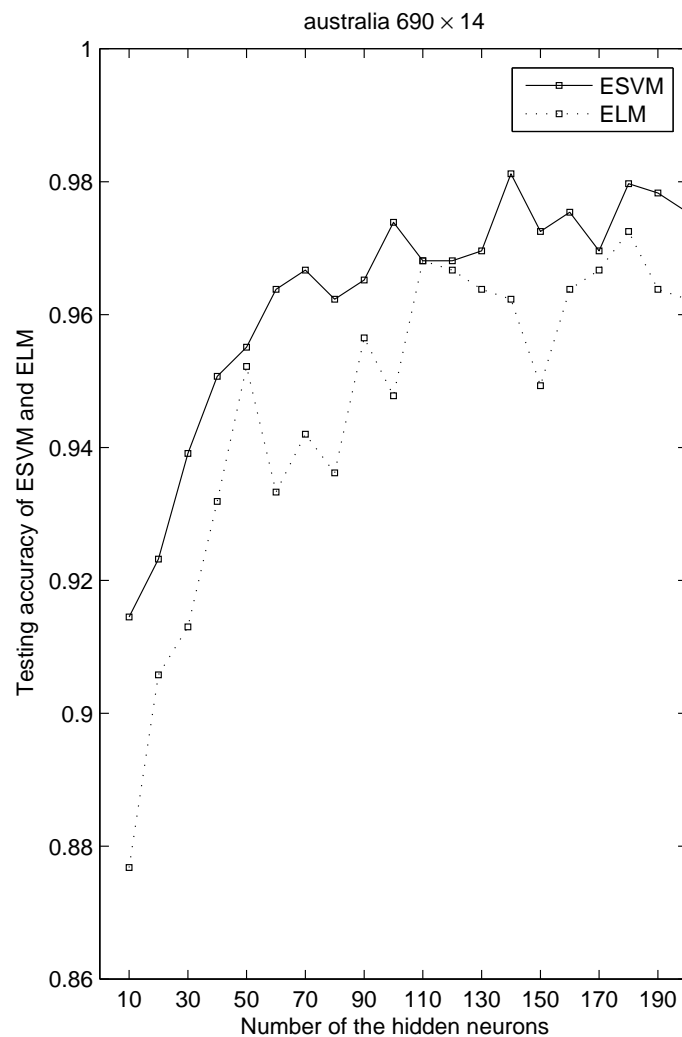
ESVM 分类器

$$\Phi(x)'w - r \begin{cases} > 0, \text{ then } x \in A+ \\ < 0, \text{ then } x \in A- \\ = 0, \text{ then } x \in A+ \text{ or } x \in A- \end{cases}$$

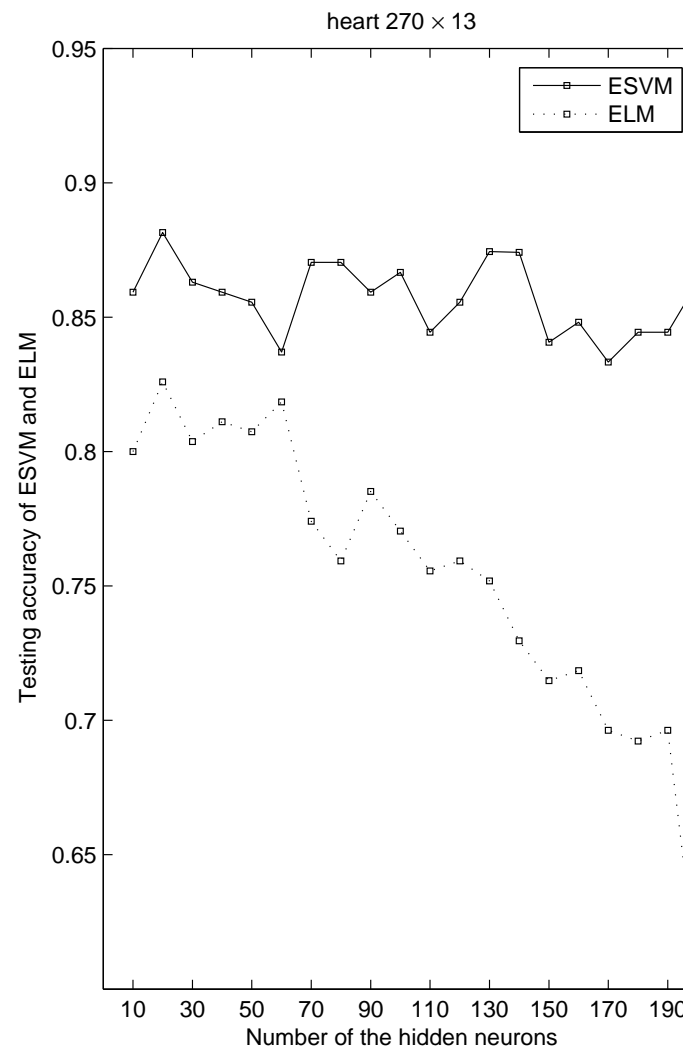
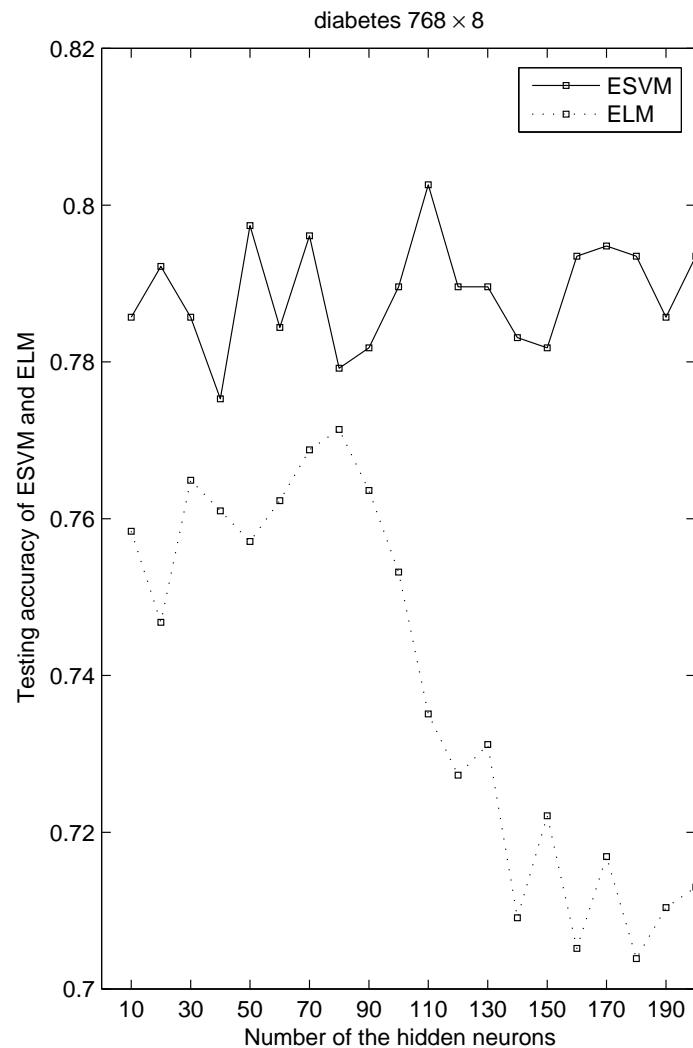
增量计算

$$E_{\Phi}'E_{\Phi} = \sum E_{\Phi_i}'E_{\Phi_i}, E_{\Phi}'De = \sum E_{\Phi_i}'D_i e$$

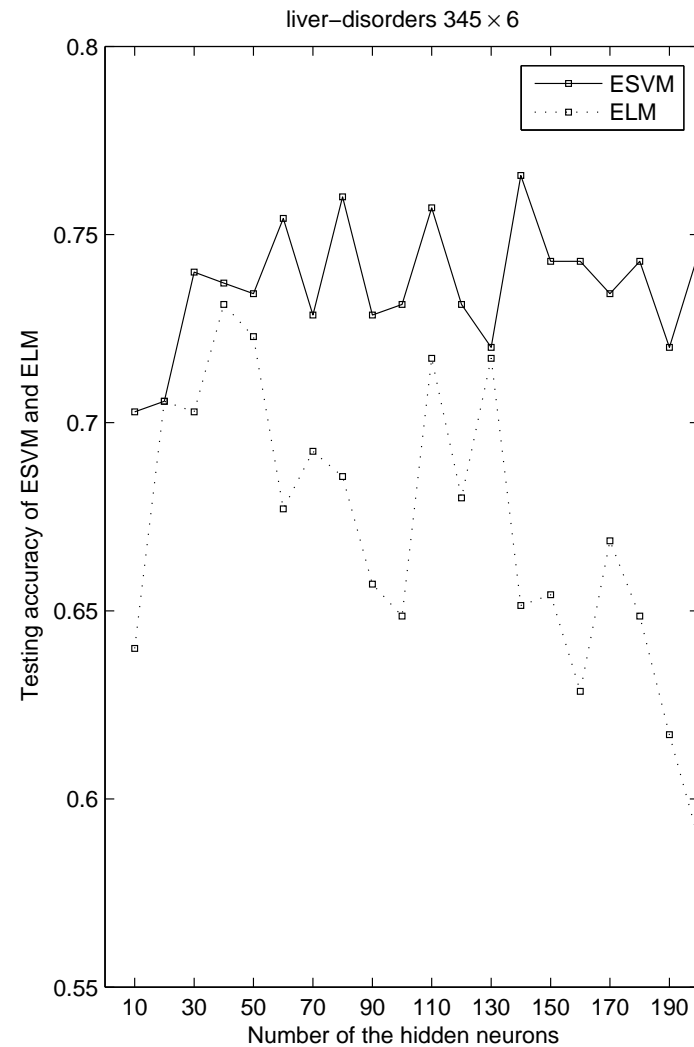
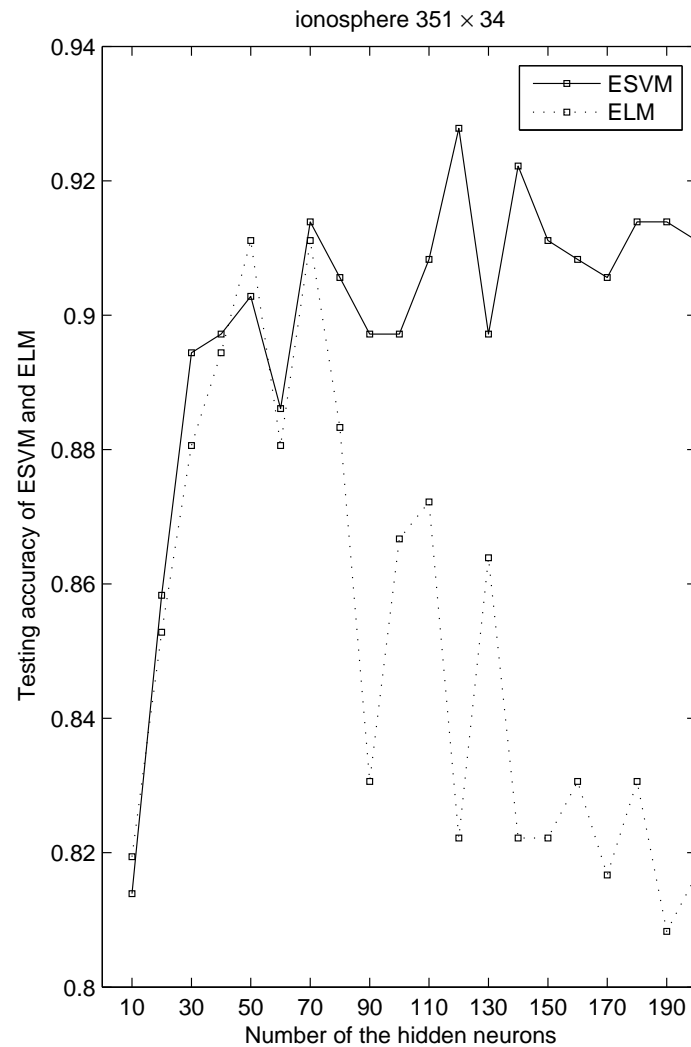
极端支持向量: ESVM



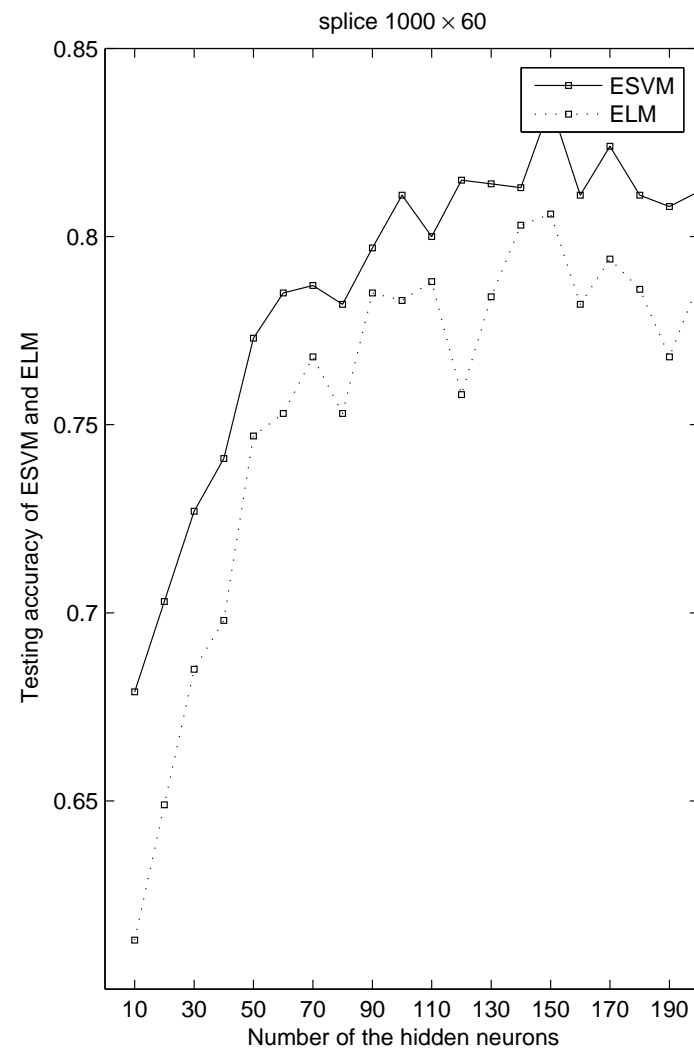
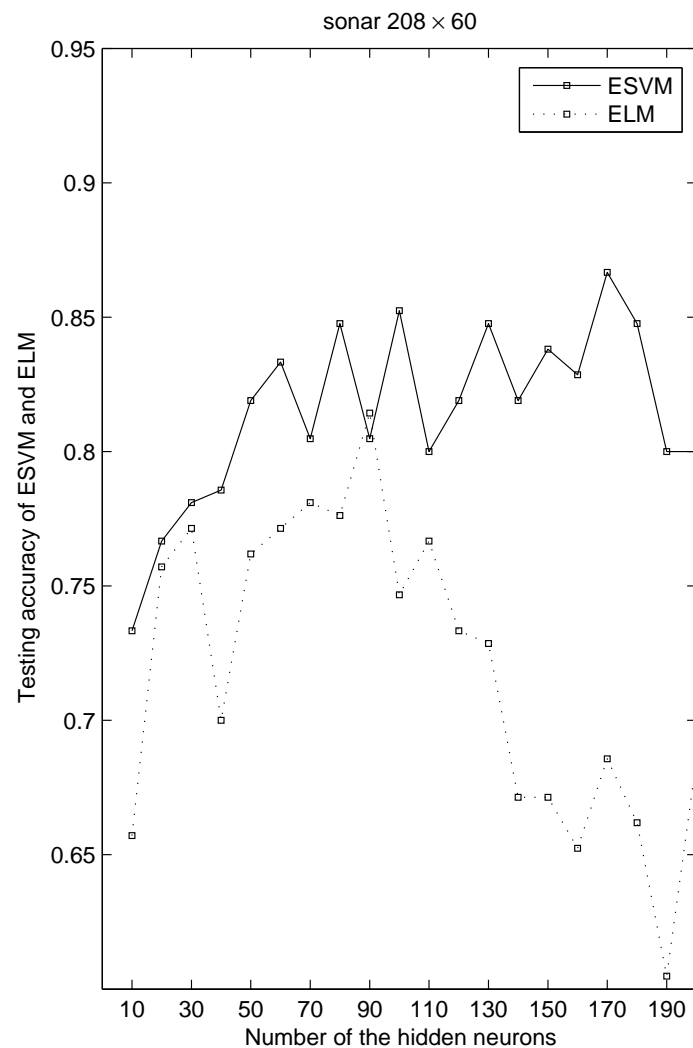
极端支持向量: ESVM



极端支持向量: ESVM



极端支持向量: ESVM





极端支持向量: ESVM

Datasets	ESVM						SVM Train Test Time	NPSVM Train Test Time
	Train Test Time							
	20	60	100	140	180	200		
Australia 690 × 14	91.26%	96.09%	97.86%	98.42%	99.19%	99.28%	92.59%	100%
	92.32%	96.38%	97.39%	98.12%	97.97%	97.54%	83.91%	96.52%
	0.0047	0.0141	0.0219	0.0469	0.0703	0.0828	0.1703	0.3297
breast-cancer 683 × 10	97.08%	97.54%	97.77%	97.74%	97.92%	97.85%	96.73%	97.48%
	97.39%	98.12%	97.68%	97.68%	97.54%	97.25%	96.63%	97.73%
	0	0.0125	0.0281	0.0453	0.0672	0.0781	0.125	0.3281
diabetes 768 × 8	78.17%	80.46%	79.15%	80.81%	79.83%	85.33%	77.47%	79.15%
	79.22%	78.44%	78.96%	80.81%	79.83%	85.33%	75.78%	77.48%
	0.0078	0.0172	0.0313	0.0516	0.0766	0.0906	0.1689	0.4406
heart 270 × 13	85.76%	85.35%	88.72%	89.26%	90.12%	84.73%	96.75%	83.29%
	88.15%	83.70%	86.67%	87.41%	84.44%	86.30%	75.56%	82.96%
	0.0047	0.063	0.0109	0.0219	0.0313	0.0344	0.0312	0.0297
ionosphere 351 × 34	85.62%	94.19%	96.67%	96.32%	94.19%	97.46%	100%	99.37%
	85.83%	88.61%	89.72%	92.22%	91.39%	91.11%	92.02%	94.87%
	0.0031	0.0094	0.0156	0.0281	0.0344	0.0437	0.0610	0.0626
liver 345 × 6	75.13%	75.35%	77.23%	78.16%	76.32%	74.97%	80.58%	76.75%
	70.57%	75.43%	73.14%	76.57%	74.29%	74.57%	72.49%	73.34%
	0.0016	0.0063	0.0156	0.0234	0.0359	0.0453	0.05	0.0581
sonar 208 × 60	81.18%	90.43%	90.91%	99.89%	99.57%	87.49%	100%	100%
	76.67%	83.33%	85.24%	81.90%	84.76%	80%	74.04%	89.47%
	0.0016	0.0031	0.0141	0.0172	0.0313	0.0281	0.0405	0.0156
splice 1000 × 60	68.31%	80.08%	83.99%	86.63%	88.44%	86.17%	100%	-
	70.30%	78.50%	81.10%	81.30%	81.10%	81.20%	56.9%	-
	0.0063	0.0234	0.0484	0.0703	0.1	0.1141	1.25	-



极端支持向量：**ESVM**

- 我们提出了一种新的**Extreme Support Vector Machine (ESVM)** 分类模型：
 - 利用随机构造的映射函数代替核函数
 - 正则化最小二乘
- 优点：
 - 比**SLFN**具有更好的泛化能力
 - 比**SVM**更简单，更快速
 - 具有与**SVM**相似的正确率
 - 可用于大数据集的训练



极端支持向量: **ESVM**

- Qiuge Liu, Qing He, and Zhongzhi Shi. Extreme Support Vector Machine, in PAKDD'08(El源).

Most Influential Paper Award



Most Influential Paper Award

“Extreme Support Vector Machine Classifier”

co-authored by Qiuge Liu, Qing He and Zhongzhi Shi,
published at PAKDD 2008





研究工作总结

- Qiuge Liu, Qing He, and Zhongzhi Shi. Extreme Support Vector Machine, in PAKDD'08 (EI源).
- Qiuge Liu, Qing He, and Zhongzhi Shi. Incremental Nonlinear Proximal Support Vector Machine, in D. Liu et al. (Eds.): ISNN 2007, LNCS 4493, Part III, pp. 336–341, 2007(EI已收录).
- Qiu-ge Liu, Qing He, Zhong-zhi Shi. Data Selection for Nonlinear Proximal Support Vector Machine, Third International Conference on Natural Computation, Vol.1,pp.120-124. (EI已收录)
- 刘秋阁, 何清, 史忠植. 一种新的非线性支持向量机分类算法. CAAI-12, 北京邮电大学出版社, 2007, 190-195.



公开问题

- **ESVM的进一步完善**
 - 随机映射函数对分类器性能的影响，及其与核函数、核优化理论的关系；
 - **ESVM对大数据集分类能力的分析；**
 - **ESVM中两步学习方式，可以推广到很多不同的（几乎任意）学习算法中用于学习非线性模型；**

谢谢!

